

z-Transformation



TECHNISCHE
UNIVERSITÄT
DARMSTADT

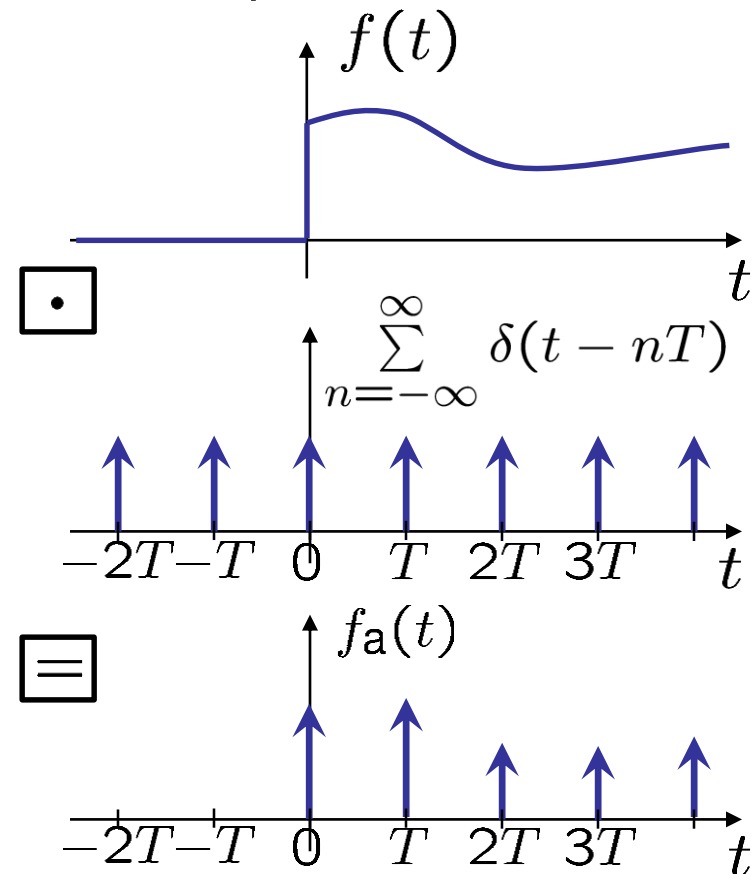
z-Transformation und Laplace-Transformation

- Die z-Transformation hat für Zahlenfolgen die gleiche Bedeutung wie die Laplace-Transformation für zeitkontinuierliche Signale.
- Wir entwickeln die z-Transformation aus der Laplace-Transformation für ideal abgetastete Signale.
- Anwendungsbeispiele der z-Transformation: Beschreibung diskreter linearer Filter durch Nullstellen und Pole.

Entwicklung der z-Transformation aus der Laplace-Transformation

Ausgangspunkt: ideal abgetastetes Signal $f_a(t)$,
d.h. Signal $f(t)$ wird mit einem Dirac-Kamm multipliziert

$$\begin{aligned} f_a(t) &= f(t) \cdot \sum_{n=-\infty}^{\infty} \delta(t - nT) \\ &= \sum_{n=-\infty}^{\infty} f(t) \cdot \delta(t - nT) \\ &= \sum_{n=-\infty}^{\infty} \underbrace{f(nT)}_{=: f_n} \cdot \delta(t - nT) \end{aligned}$$



Entwicklung der z-Transformation aus der Laplace-Transformation

- Wir betrachten die *einseitige* Laplace-Transformation und *einseitige* z-Transformation und nehmen deshalb an:

$$f(t) = f_a(t) = 0 \quad \text{für } t < 0,$$
$$f_n = 0 \quad \text{für } n < 0.$$

- Laplace-Transformierte von $f_a(t)$:

$$\begin{aligned} F_a(p) &= \int_0^{\infty} f_a(t) e^{-pt} dt = \int_0^{\infty} \sum_{n=0}^{\infty} f_n \cdot \delta(t - nT) e^{-pnT} dt \\ &= \sum_{n=0}^{\infty} f_n \cdot e^{-pnT} \underbrace{\int_0^{\infty} \delta(t - nT) dt}_{=1} \\ &= \sum_{n=0}^{\infty} f_n e^{-pnT} \end{aligned}$$

Entwicklung der z-Transformation aus der Laplace-Transformation

- Laplace-Transformierte:

$$F_a(p) = \sum_{n=0}^{\infty} f_n e^{-pnT}$$

- Wir ersetzen $z = e^{pT}$:

$$F_a(p)|_{z=e^{pT}} = \sum_{n=0}^{\infty} f_n z^{-n} =: \mathcal{Z}\{f_n\}$$

z-Transformierte

- Die z-Transformierte ist die Laplace-Transformierte der ideal abgetasteten Funktion $f_a(t)$ mit Variablensubstitution $z = e^{pT}$.

- z-Transformierte der Folge f_n :

$$F(z) = \mathcal{Z}\{f_n\} = \sum_{n=0}^{\infty} f_n z^{-n}$$

- Die z-Transformation ordnet der reellen oder komplexen **Folge** f_n eine **Funktion** $F(z)$ der komplexen Variablen z zu. Die Zuordnung ist eindeutig.
- Schreibweisen:

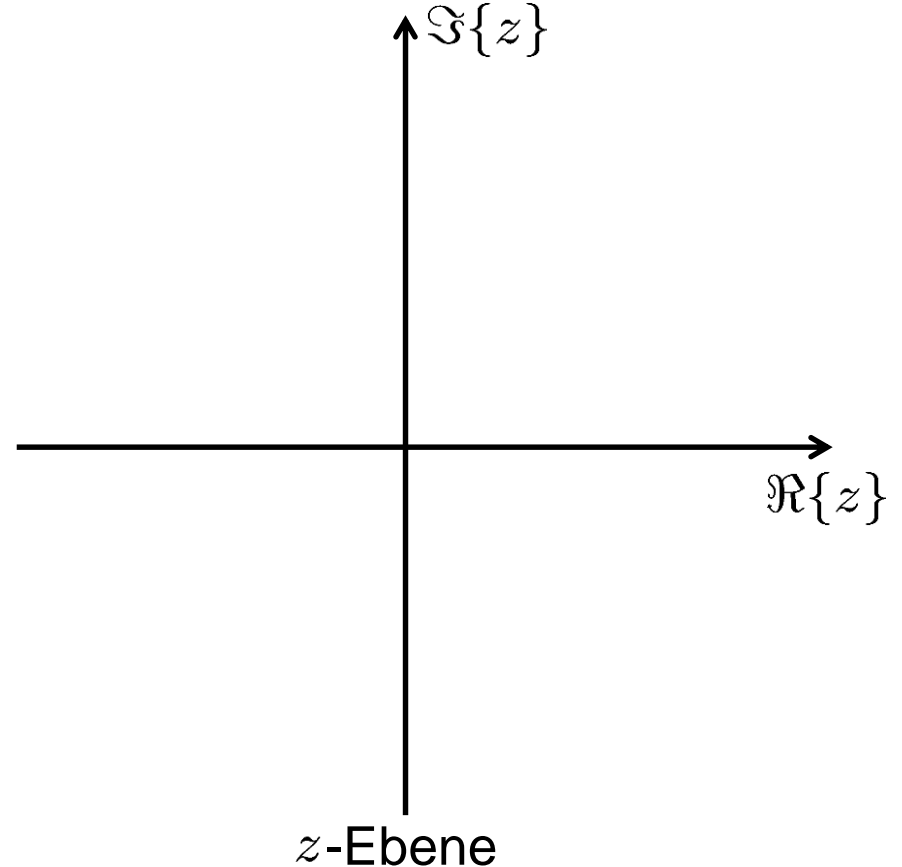
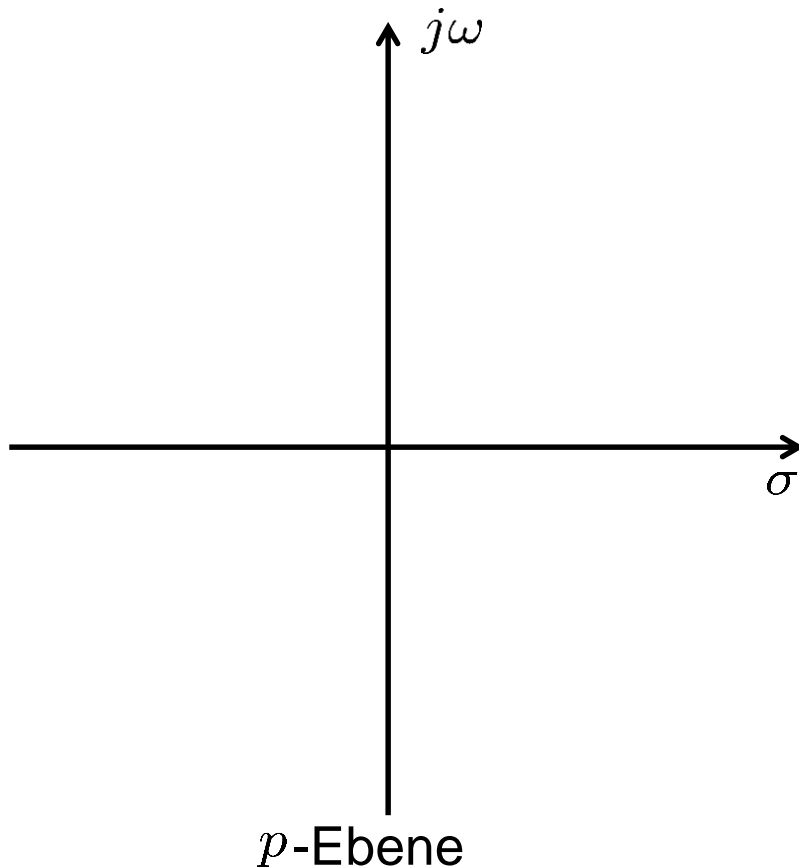
$$\begin{aligned} F(z) &= \mathcal{Z}\{f_n\} \\ f_n &= \mathcal{Z}^{-1}\{F(z)\} \\ f_n &\circ\text{---}\bullet F(z) \\ F(z) &\bullet\text{---}\circ f_n \end{aligned}$$

Geometrische Deutung der Variablensubstitution $z = e^{pT}$



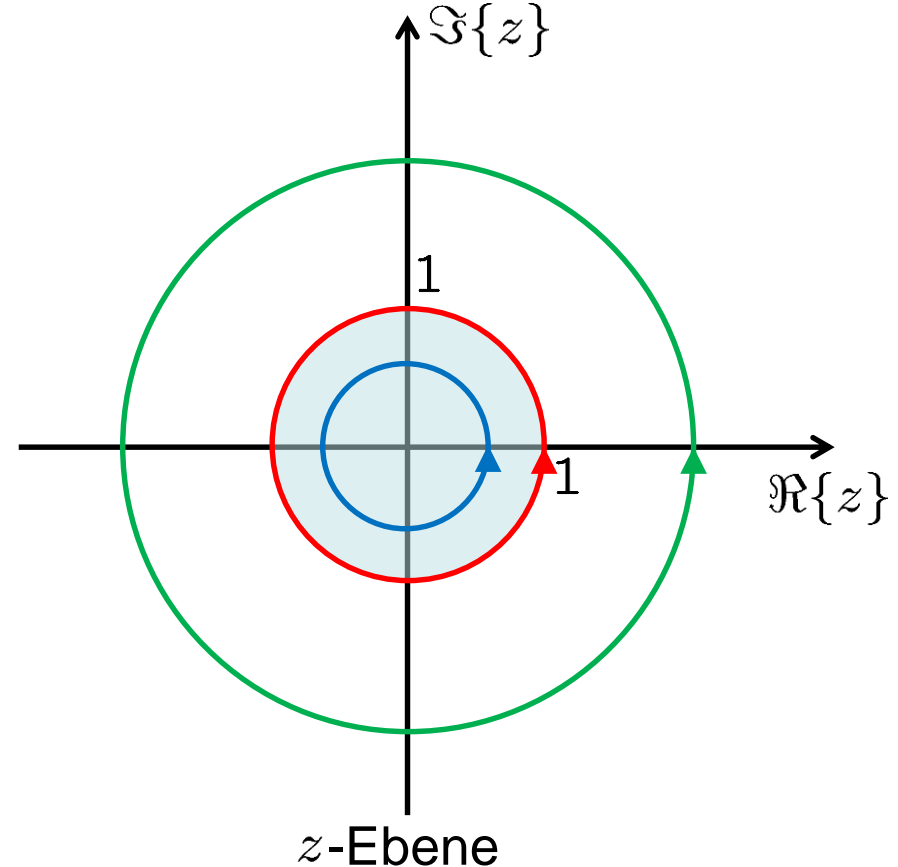
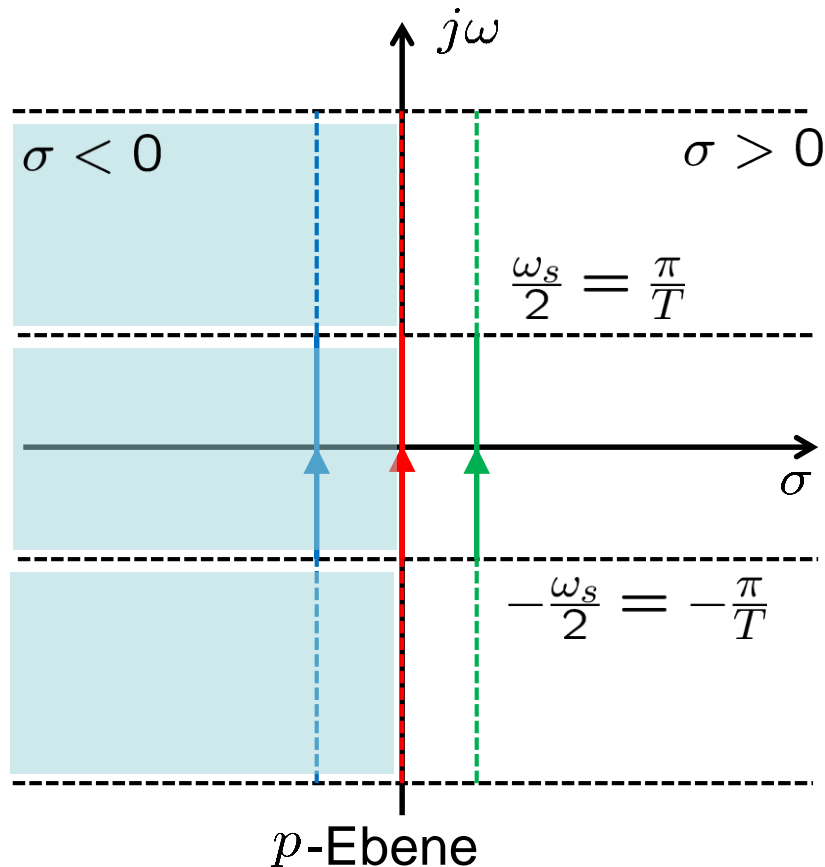
TECHNISCHE
UNIVERSITÄT
DARMSTADT

Mit $p = \sigma + j\omega$ folgt $z = e^{pT} = e^{\sigma T} \cdot e^{j\omega T}$ und $|z| = e^{\sigma T}$.



Geometrische Deutung der Variablensubstitution $z = e^{pT}$

Mit $p = \sigma + j\omega$ folgt $z = e^{pT} = e^{\sigma T} \cdot e^{j\omega T}$ und $|z| = e^{\sigma T}$.



Geometrische Deutung der Variablensubstitution $z = e^{pT}$

1. $\sigma < 0 \Leftrightarrow |z| < 1$, d.h. jeder Punkt in der linken Hälfte der p -Ebene wird abgebildet auf einen Punkt innerhalb des Einheitskreises in der z -Ebene.
2. $\sigma > 0 \Leftrightarrow |z| > 1$, d.h. jeder Punkt in der rechten Hälfte der p -Ebene wird abgebildet auf einen Punkt außerhalb des Einheitskreises in der z -Ebene.
3. $\sigma = 0 \Leftrightarrow |z| = 1$, d.h. die $j\omega$ -Achse der p -Ebene wird auf den Einheitskreis in der z -Ebene abgebildet.
4. $p = 0 \Leftrightarrow z = 1$, d.h. Ursprung der p -Ebene wird auf den Punkt $z = 1$ abgebildet.

Geometrische Deutung der Variablensubstitution $z = e^{pT}$

5. Punkte p_k , die vertikal von einem Punkt p_0 einen Abstand haben, der ein Vielfaches der Abtastkreisfrequenz $\omega_S = \frac{2\pi}{T}$ ist, werden auf den gleichen Punkt $z_0 = e^{p_0T}$ in der z -Ebene abgebildet.

$$p_k = p_0 + jk\omega_S, k = 0, \pm 1, \pm 2, \dots$$

$$z_k = e^{p_kT} = e^{p_0T} e^{jk\omega_S T} = e^{p_0T} e^{jk2\pi} = e^{p_0T} = z_0 \quad \text{für alle } k$$

p -Ebene kann in horizontale Streifen der Breite ω_S eingeteilt werden, wovon jeder auf die gesamte z -Ebene abgebildet wird.

- Primärstreifen: $|\omega| \leq \omega_S/2$
- Komplementärstreifen: Die Wiederholungen nach oben und unten mit ω_S

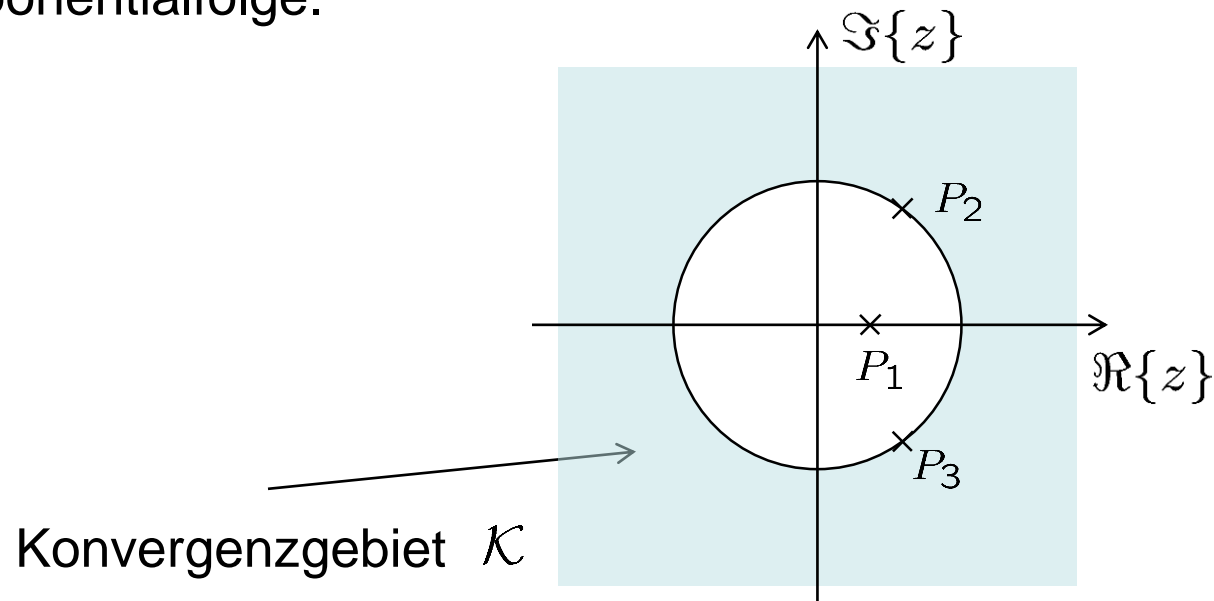
- Die z-Transformierte $\sum_{n=0}^{\infty} f_n z^{-n}$ existiert für diejenigen $z \in \mathcal{K} \subseteq \mathbb{C}$, für

die die Summe absolut konvergiert:

$$\sum_{n=0}^{\infty} |f_n z^{-n}| < \infty, \quad z \in \mathcal{K}$$

- \mathcal{K} bezeichnet man als Konvergenzgebiet der z-Transformierten.
- Die Werte der Folge f_n sind die Koeffizienten der Laurent-Reihenentwicklung der z-Transformierten $F(z)$ um den Punkt $z = 0$.
- Das Gebiet, in dem die Laurent-Reihe die z-Transformierte $F(z)$ eindeutig darstellt, ist das Konvergenzgebiet \mathcal{K} der z-Transformierten.

- Das Konvergenzgebiet \mathcal{K} der *einseitigen* z-Transformierten ist die Fläche außerhalb eines Kreises mit Zentrum im Ursprung.
- Der Radius des Kreises (Konvergenzradius) wird durch den betragsmäßig größten Pol bestimmt.
- Im Zeitbereich entspricht dies der am stärksten aufklingenden Exponentialfolge.



Beispiel:
3 Pole: P_1, P_2, P_3

- Vermutung: Die z-Transformierten existieren für alle Folgen, die nicht stärker als exponentiell ansteigen.
- Wir nehmen an, dass f_n nicht stärker wächst als eine Exponentialfolge, d.h. es existiert $b \in \mathbb{R}$, so dass gilt:

$$|f_n| \leq e^{bn} \quad \text{für alle } n.$$

Mit $z = |z|e^{j \arg(z)} =: e^a \cdot e^{j \arg(z)}$, $a \in \mathbb{R}$ folgt

$$\begin{aligned} \sum_{n=0}^{\infty} |f_n z^{-n}| &= \sum_{n=0}^{\infty} |f_n| e^{-an} \\ &\leq \sum_{n=0}^{\infty} e^{bn} e^{-an} = \sum_{n=0}^{\infty} e^{(b-a)n} < \infty, \quad \text{für } a > b. \end{aligned}$$

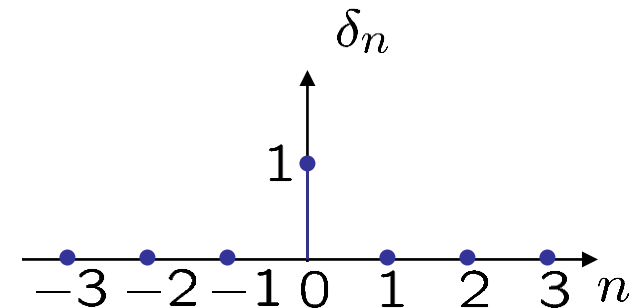
Damit ist die Vermutung bestätigt.

- Wählen wir also den Konvergenzradius $r = e^a$ nur groß genug, so erhalten wir für alle praktisch relevanten Folgen Konvergenz.
- Lediglich für die stärker als exponentiell anwachsenden Folgen wie z.B. $f_n = e^{n^2}$ oder $f_n = n!$ konvergiert und existiert daher die z-Transformierte nicht.
- Den Exponentialfaktor e^{-an} bezeichnet man als *Konvergenz sichernden Faktor*, da er für $n \rightarrow \infty$ die Summanden so schnell nach null drückt, dass die Summe absolut konvergiert.

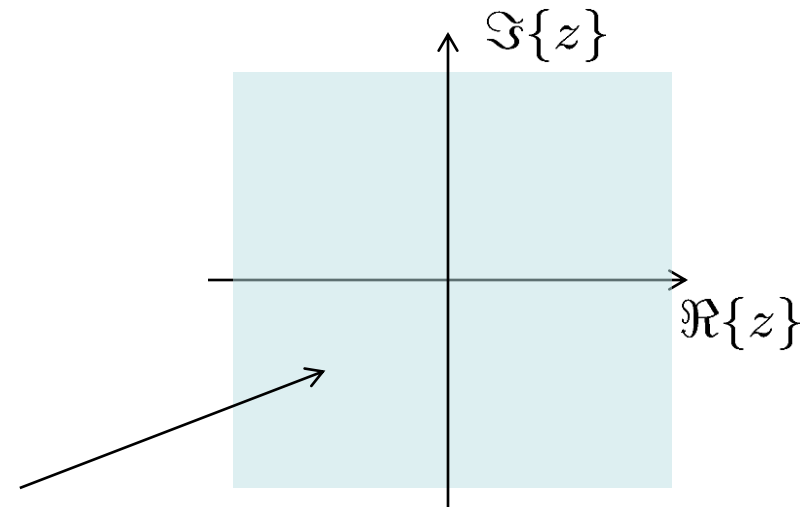
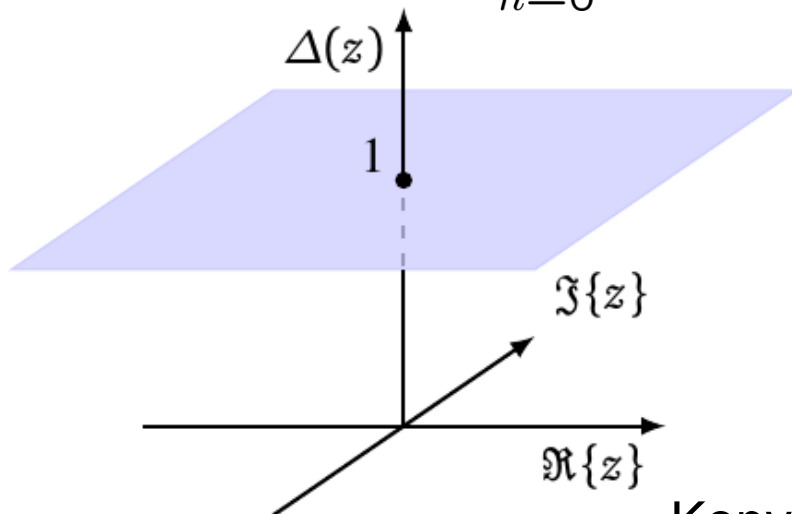
Beispiel: z-Transformierte der Impulsfolge

$$\delta_n = \begin{cases} 1 & \text{für } n = 0 \\ 0 & \text{für } n \neq 0 \end{cases}$$

○
↓
●



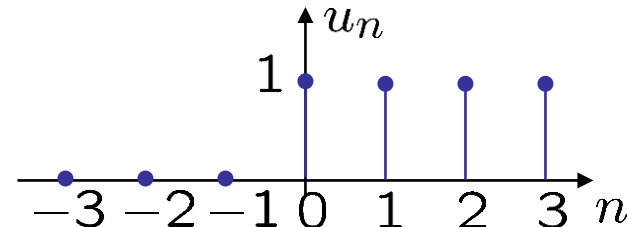
$$\Delta(z) = \mathcal{Z}\{\delta_n\} = \sum_{n=0}^{\infty} \delta_n z^{-n} = 1 \cdot z^0 + 0 \cdot z^{-1} + 0 \cdot z^{-2} + \dots = 1.$$



Konvergenzgebiet $\mathcal{K} = \mathbb{C}$

Beispiel: z-Transformierte der Sprungfolge

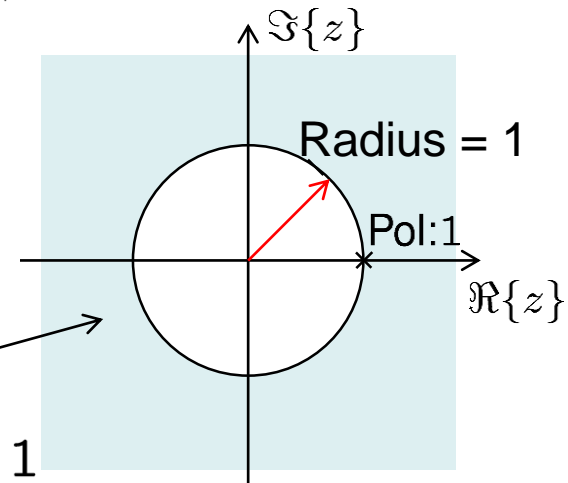
$$u_n = \begin{cases} 1 & \text{für } n \geq 0 \\ 0 & \text{für } n < 0 \end{cases}$$



$$\begin{aligned} U(z) = \mathcal{Z}\{u_n\} &= \sum_{n=0}^{\infty} u_n z^{-n} = \sum_{n=0}^{\infty} z^{-n} = \sum_{n=0}^{\infty} \left(\frac{1}{z}\right)^n \\ &= \frac{1}{1 - \frac{1}{z}} = \frac{z}{z-1}, \quad \text{für } \left|\frac{1}{z}\right| < 1, \text{ d.h. } |z| > 1 \end{aligned}$$

Geometrische Reihe:

$$\sum_{n=0}^{\infty} x^n = \frac{1}{1-x} \quad \text{für } |x| < 1$$



Konvergenzgebiet $\mathcal{K} : |z| > 1$

Beispiel: z-Transformierte der (kausalen) Exponentialfolge

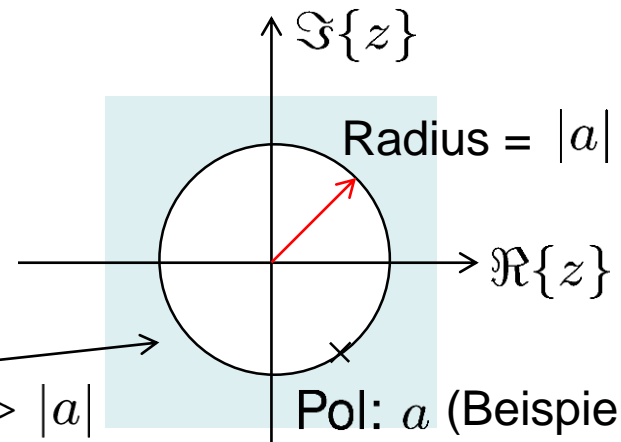
$$f_n = a^n u_n$$



$$F(z) = \mathcal{Z}\{f_n\} = \sum_{n=0}^{\infty} f_n z^{-n} = \sum_{n=0}^{\infty} a^n u_n z^{-n} =$$

$$= \sum_{n=0}^{\infty} a^n z^{-n} = \sum_{n=0}^{\infty} \left(\frac{a}{z}\right)^n$$

$$= \frac{1}{1 - \frac{a}{z}} = \frac{z}{z - a}, \quad \text{für } \left|\frac{a}{z}\right| < 1, \text{ d.h. } |z| > |a|$$



Konvergenzgebiet $\mathcal{K} : |z| > |a|$

Eigenschaften der z-Transformation: Linearität

- Wenn $f_n \circ \bullet F(z)$ mit dem Konvergenzgebiet \mathcal{K}_f
und $g_n \circ \bullet G(z)$ mit dem Konvergenzgebiet \mathcal{K}_g
dann gilt

$$af_n + bg_n \circ \bullet aF(z) + bG(z), \quad \mathcal{K} \supseteq \mathcal{K}_f \cap \mathcal{K}_g$$

- Der Beweis folgt direkt aus der Definition der z-Transformation:

$$\begin{aligned} \mathcal{Z}\{af_n + bg_n\} &= \sum_{n=0}^{\infty} (af_n + bg_n)z^{-n} \\ &= a \sum_{n=0}^{\infty} f_n z^{-n} + b \sum_{n=0}^{\infty} g_n z^{-n} \\ &= aF(z) + bG(z) \end{aligned}$$

Eigenschaften der z-Transformation: Linearität

- Durch die Skalierung mit einer Konstanten ändert sich das Konvergenzgebiet nicht.
- Das resultierende Konvergenzgebiet ist in der Regel die Schnittmenge der beiden einzelnen Konvergenzgebiete.
- Kürzen sich jedoch durch die Addition Pole weg, so kann sich das Konvergenzgebiet vergrößern.

Beispiel: Konvergenzgebietsvergrößerung bei linearer Operation



$$\begin{aligned}f_n &= u_n - u_{n-1} = \delta_n \\u_n &\circ \bullet \frac{z}{z-1}, \quad \text{für } |z| > 1 \\u_{n-1} &\circ \bullet \sum_{n=0}^{\infty} u_{n-1} z^{-n} = \sum_{n=1}^{\infty} z^{-n} \\&= \sum_{n=0}^{\infty} z^{-n} - z^0 \\&= \frac{z}{z-1} - 1 = \frac{z - (z-1)}{z-1} = \frac{1}{z-1}, \quad \text{für } |z| > 1 \\F(z) &= \frac{z}{z-1} - \frac{1}{z-1} = \frac{z-1}{z-1} = 1 \\&\quad \text{für alle } z \in \mathbb{C}\end{aligned}$$

- Sonderfall: Pol bei $z = 1$ kürzt sich weg
→ Konvergenzgebiet vergrößert sich.

Beispiel: z-Transformierte der Summe zweier (kausaler) Exponentialfolgen

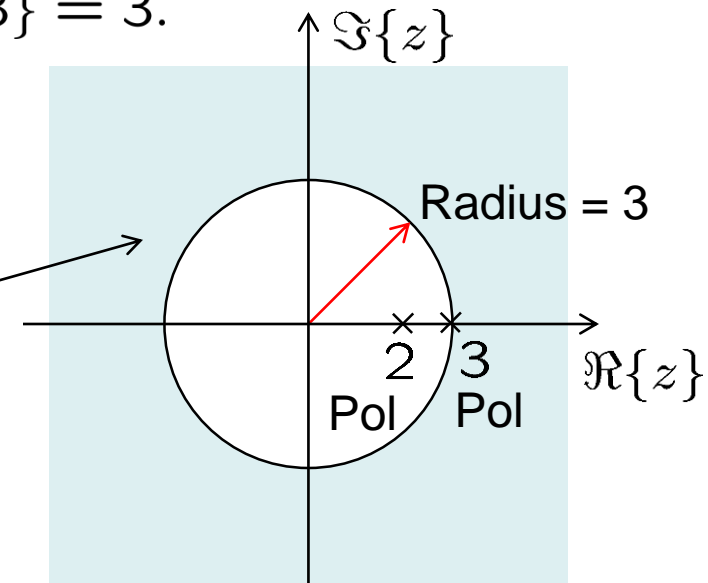
$$f_n = 2^n u_n + 3^n u_n = (2^n + 3^n) u_n$$

$$\begin{array}{c} \circ \\ \downarrow \\ \bullet \end{array} F(z) = \mathcal{Z}\{f_n\} = \frac{z}{z-2} + \frac{z}{z-3} = \frac{z^2 - 3z + z^2 - 2z}{(z-2)(z-3)} = \frac{2z^2 - 5z}{(z-2)(z-3)}$$

Konvergenzgebiet \mathcal{K} :

$$|z| > 2 \quad \text{und} \quad |z| > 3, \text{ d.h. } |z| > \max\{2, 3\} = 3.$$

Konvergenzgebiet $\mathcal{K} : |z| > 3$,
d.h. außerhalb des Kreises,
der *beide* Pole enthält.



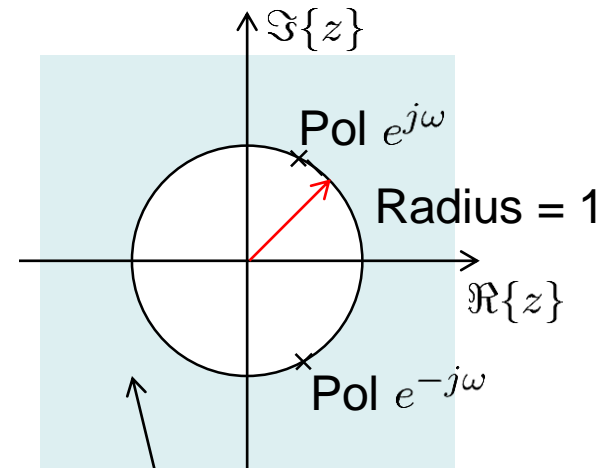
Beispiel: z-Transformierte der (kausalen) Cosinus- und Sinusfolgen

$$f_n = \cos(n\omega)u_n = \frac{1}{2} (e^{jn\omega} + e^{-jn\omega}) u_n$$

$$\begin{aligned} F(z) &\stackrel{\circ}{=} \mathcal{Z}\{f_n\} = \frac{1}{2} \left(\frac{z}{z - e^{j\omega}} + \frac{z}{z - e^{-j\omega}} \right) \\ &= \frac{1}{2} \frac{z(z - e^{-j\omega}) + z(z - e^{j\omega})}{(z - e^{j\omega})(z - e^{-j\omega})} \\ &= \frac{1}{2} \frac{2z^2 - ze^{j\omega} - ze^{-j\omega}}{(z^2 - ze^{j\omega} - ze^{-j\omega} + 1)} \\ &= \frac{z^2 - z \cos(\omega)}{z^2 - 2z \cos(\omega) + 1}, \quad \text{für } |z| > 1. \end{aligned}$$

Analog:

$$\sin(n\omega)u_n \quad \circ \text{---} \bullet \quad \frac{z \sin(\omega)}{z^2 - 2z \cos(\omega) + 1}$$

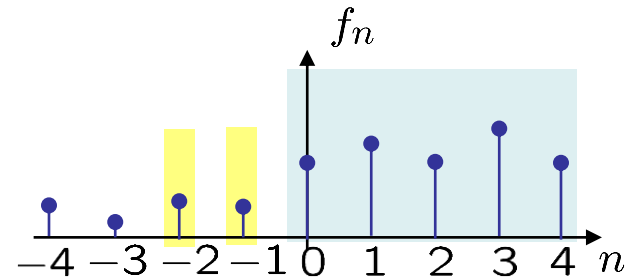


Konvergenzgebiet $\mathcal{K} : |z| > 1$

Eigenschaften der z-Transformation: Verschiebung im Zeitbereich nach rechts

$$f_n \quad \circ \longrightarrow \bullet \quad F(z) = \sum_{n=0}^{\infty} f_n z^{-n}$$

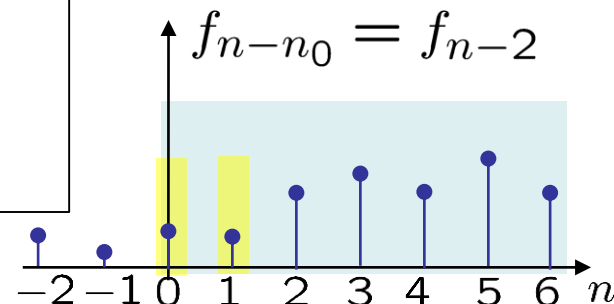
- Korrekturterm, da Werte der Folge in den Erfassungsbereich der Transformation ($n \geq 0$) hinzukommen.



Für $n_0 > 0$:

$$\begin{aligned} f_{n-n_0} \quad \circ \longrightarrow \bullet \quad z^{-n_0} F(z) + \sum_{m=-n_0}^{-1} f_m z^{-(m+n_0)} \\ = z^{-n_0} F(z) + \sum_{m=1}^{n_0} f_{-m} z^{m-n_0} \end{aligned}$$

Für $n_0 = 2$:



- Das Konvergenzgebiet ändert sich i.a. nicht.
- Beachte: Für kausale Folgen f_n entfällt der Korrekturterm bei Verschiebung nach rechts.

Eigenschaften der z-Transformation: Verschiebung im Zeitbereich nach rechts

Der Beweis folgt direkt aus der Definition der z-Transformation:

Für $n_0 > 0$:

$$\begin{aligned}\mathcal{Z}\{f_{n-n_0}\} &= \sum_{n=0}^{\infty} f_{n-n_0} z^{-n} = \sum_{m=-n_0}^{\infty} f_m z^{-(m+n_0)} \\ &= z^{-n_0} \left[\sum_{m=0}^{\infty} f_m z^{-m} + \sum_{m=-n_0}^{-1} f_m z^{-m} \right] \\ &= z^{-n_0} \left[F(z) + \sum_{m=-n_0}^{-1} f_m z^{-m} \right] \\ &= z^{-n_0} F(z) + \sum_{m=-n_0}^{-1} f_m z^{-(m+n_0)}\end{aligned}$$

Vergleich zu Laplace-Transformation:

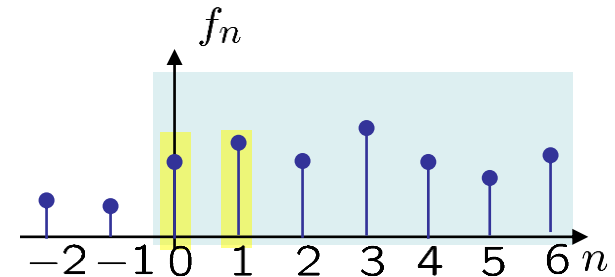
Für $t_0 > 0$:

$$\mathcal{L}\{x(t - t_0)\} = e^{-t_0 p} \left[X(p) + \int_{-t_0}^0 x(t) e^{-pt} dt \right]$$

Eigenschaften der z-Transformation: Verschiebung im Zeitbereich nach links

$$f_n \quad \circ \longrightarrow \bullet \quad F(z) = \sum_{n=0}^{\infty} f_n z^{-n}$$

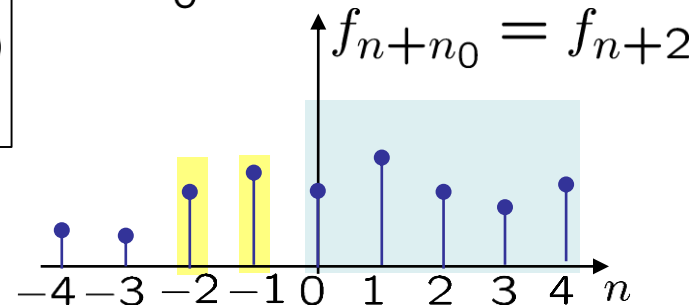
- Korrekturterm, da Werte der Folge aus dem Erfassungsbereich der Transformation ($n \geq 0$) herausfallen.



Für $n_0 > 0$:

$$f_{n+n_0} \quad \circ \longrightarrow \bullet \quad z^{n_0} F(z) - \sum_{m=0}^{n_0-1} f_m z^{-(m-n_0)}$$

Für $n_0 = 2$:

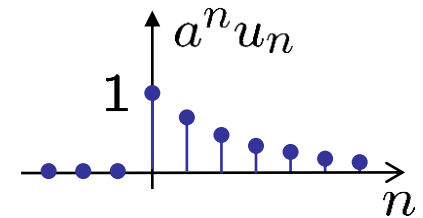


- Das Konvergenzgebiet ändert sich i.a. nicht.
- Beweis analog zu Verschiebung nach rechts.

Beispiel: z-Transformierte der zeitverschobenen Exponentialfolge

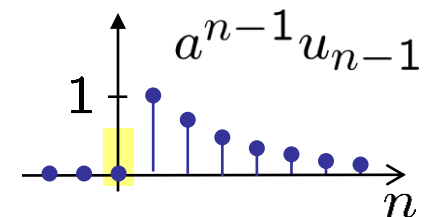
- Kausale Exponentialfolge:

$$a^n u_n \quad \circ \text{---} \bullet \quad \frac{z}{z-a} \quad \text{für } |z| > |a|$$



- Um $n_0 = 1$ nach rechts verschobene kausale Exponentialfolge:

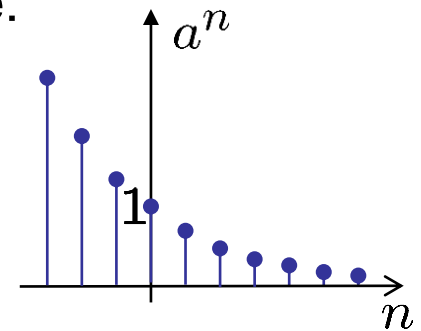
$$a^{n-1} u_{n-1} \quad \circ \text{---} \bullet \quad z^{-1} \frac{z}{z-a} = \frac{1}{z-a} \quad \text{für } |z| > |a|$$



Beispiel: z-Transformierte der zeitverschobenen Exponentialfolge

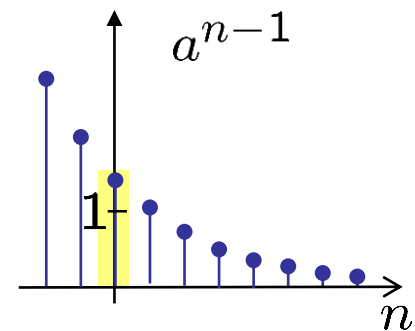
- Auch eine *nichtkausale* Exponentialfolge führt bei der *einseitigen* z-Transformation zum gleichen Ergebnis wie die kausale:

$$a^n \quad \circ \text{---} \bullet \quad \frac{z}{z-a} \quad \text{für } |z| > |a|$$



- Um $n_0 = 1$ nach rechts verschobene *nichtkausale* Exponentialfolge:

$$\begin{aligned} a^{n-1} \quad \circ \text{---} \bullet \quad z^{-1} \cdot \frac{z}{z-a} + a^{-1} z^0 \\ = \frac{1}{z-a} + \frac{1}{a} = \frac{a + z - a}{(z-a)a} = \frac{1}{a} \cdot \frac{z}{z-a} \quad \text{für } |z| > |a| \end{aligned}$$



Oder einfacher über Linearität:

$$a^{n-1} = \frac{1}{a} \cdot a^n \quad \circ \text{---} \bullet \quad \frac{1}{a} \cdot \frac{z}{z-a} \quad \text{für } |z| > |a|$$

Eigenschaften der z-Transformation: Dämpfung / Modulation der Folge, Skalierung von z

- Für die Multiplikation der (Zeit-)Folge f_n mit a^n gilt für beliebiges $a \neq 0$:

$$a^n f_n \quad \circ \longrightarrow \bullet \quad F\left(\frac{z}{a}\right), \quad \mathcal{K} = |a| \cdot \mathcal{K}_f.$$

- Der Konvergenzradius multipliziert sich dabei um Faktor $|a|$.
- Der Beweis folgt durch Einsetzen in die Definition:

$$\sum_{n=0}^{\infty} a^n f_n z^{-n} = \sum_{n=0}^{\infty} f_n \cdot \left(\frac{z}{a}\right)^{-n} = F\left(\frac{z}{a}\right).$$

- Der Wert von a bestimmt den „Charakter“ der Operation, wobei sich insbesondere folgende zwei praktisch relevante Fälle ergeben:
 - Reelles a , $0 < a < 1$: Dämpfung der Folge
 - Komplexes a mit Betrag eins, $a = e^{j\omega}$: Modulation der Folge.

Beispiel: z-Transformierte der gedämpften Cosinus- und Sinusfolgen

$$\cos(n\omega)u_n \quad \circ \text{---} \bullet \quad \frac{z^2 - z \cos(\omega)}{z^2 - 2z \cos(\omega) + 1} \quad \text{für } |z| > 1$$

$$\begin{aligned} a^n \cos(n\omega)u_n \quad \circ \text{---} \bullet \quad & \frac{\left(\frac{z}{a}\right)^2 - \frac{z}{a} \cos(\omega)}{\left(\frac{z}{a}\right)^2 - 2\frac{z}{a} \cos(\omega) + 1} \\ & = \frac{z^2 - az \cos(\omega)}{z^2 - 2az \cos(\omega) + a^2} \quad \text{für } |z| > |a| \end{aligned}$$

Analog:

$$a^n \sin(n\omega)u_n \quad \circ \text{---} \bullet \quad \frac{az \sin(\omega)}{z^2 - 2az \cos(\omega) + a^2} \quad \text{für } |z| > |a|$$

Eigenschaften der z-Transformation: Lineare Gewichtung der Folge, Ableitung im z-Bereich

- Der linearen Gewichtung im Originalbereich entspricht die Ableitung im z-Bereich.

$$n \cdot f_n \quad \circ \longrightarrow \bullet \quad - z \frac{dF(z)}{dz}, \quad \mathcal{K} = \mathcal{K}_f$$

- Der Beweis erfolgt über gliedweise Differentiation der z-Transformierten, was innerhalb des Konvergenzgebiets zulässig ist:

$$\begin{aligned} \frac{dF(z)}{dz} &= \frac{d}{dz} \sum_{n=0}^{\infty} f_n z^{-n} \\ &= \sum_{n=0}^{\infty} -n \cdot f_n \cdot z^{-n-1} \end{aligned}$$

Die Multiplikation mit $(-z)$ auf beiden Seiten ergibt den Beweis.

- Das Konvergenzgebiet ändert sich nicht.

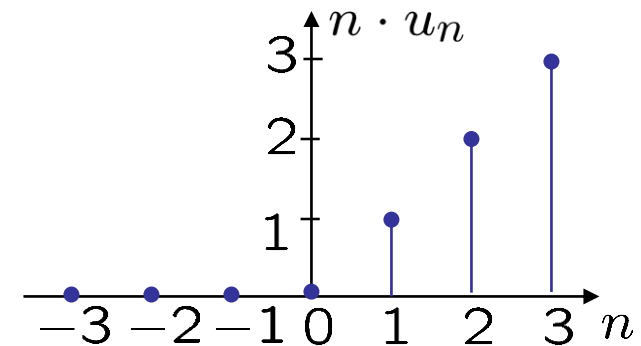
Beispiel: z-Transformierte der Rampenfolge

$$u_n \quad \circ \text{---} \bullet \quad \frac{z}{z-1} \quad \text{für } |z| > 1$$

$$n \cdot u_n \quad \circ \text{---} \bullet \quad -z \cdot \frac{d}{dz} \left(\frac{z}{z-1} \right)$$

$$= -z \cdot \frac{(z-1) - z}{(z-1)^2}$$

$$= \frac{z}{(z-1)^2} \quad \text{für } |z| > 1$$



Quotientenregel:

$$\frac{d}{dx} \frac{U(x)}{V(x)} = \frac{U'(x)V(x) - U(x)V'(x)}{V^2(x)}$$

- Diskrete Faltung, Faltungsprodukt, Faltungssumme:

$$y_n = f_n * h_n = \sum_{i=-\infty}^{\infty} f_i \cdot h_{n-i} = \sum_{i=-\infty}^{\infty} h_i f_{n-i}$$

- Eigenschaften:

- Kommutativität:

$$f_n * h_n = h_n * f_n$$

- Assoziativität:

$$f_n * (g_n * h_n) = (f_n * g_n) * h_n$$

- Distributivität:

$$f_n * (g_n + h_n) = f_n * g_n + f_n * h_n$$

- Neutralelement:

$$\delta_n * f_n = f_n$$

- *Faltung* einer Folge f_n mit zeitverschobener Impulsfolge:

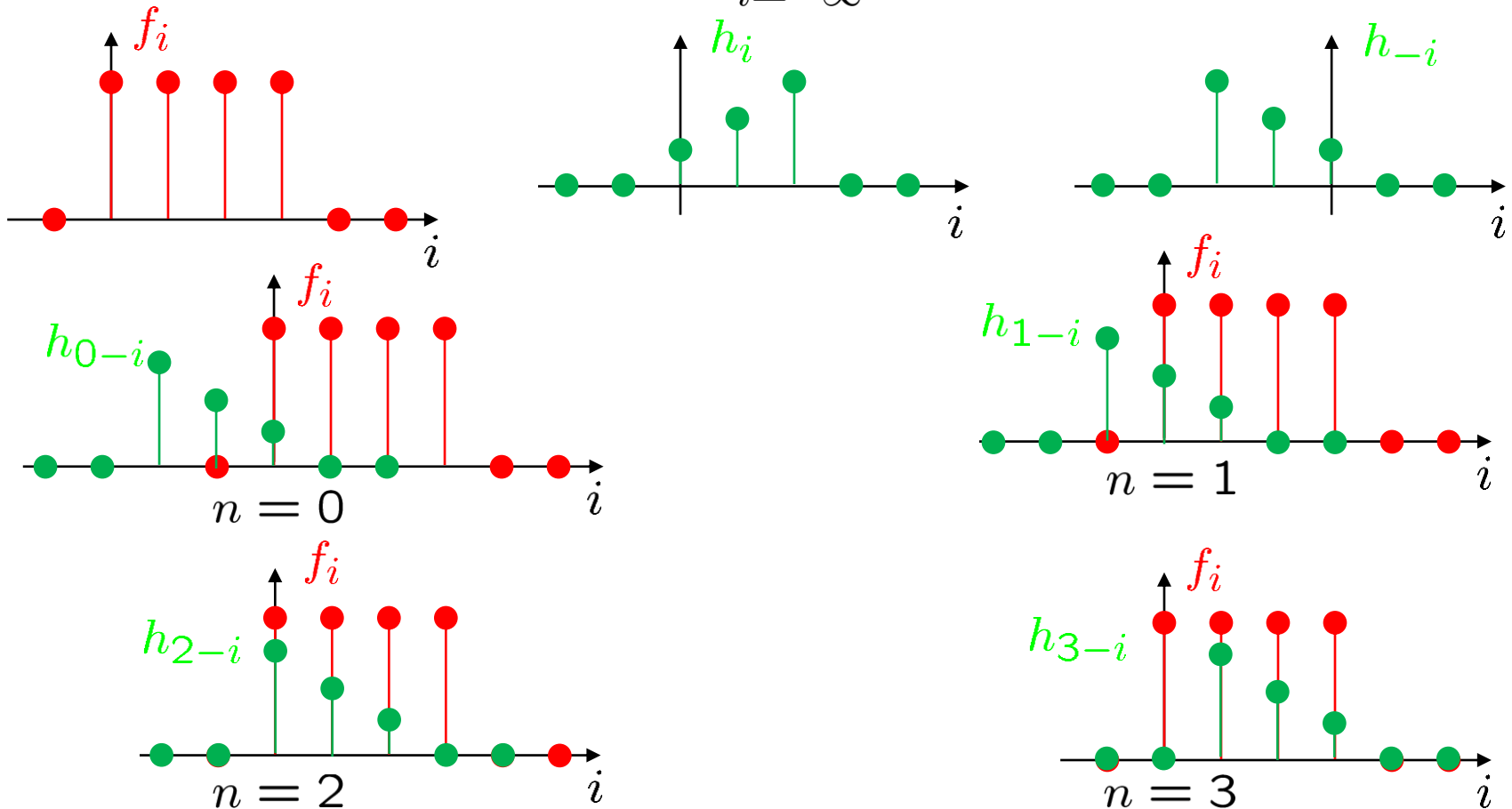
$$f_n * \delta_{n-n_0} = f_{n-n_0}$$

- *Produkt* einer Folge f_n mit zeitverschobener Impulsfolge:

$$f_n \cdot \delta_{n-n_0} = f_{n_0} \cdot \delta_{n-n_0}$$

Diskrete Faltung: Veranschaulichung

$$y_n = f_n * h_n = \sum_{i=-\infty}^{\infty} f_i h_{n-i}$$



Diskrete Faltung: Papierstreifenmethode, Tabelle

- Beispiel: Folge f_i : $f_0 = 2, f_1 = 4, f_2 = 1, f_i = 0$ sonst
 h_i : $h_0 = 3, h_1 = 2, h_2 = 1, h_i = 0$ sonst

$$f_i : \begin{array}{|c|c|c|} \hline 2 & 4 & 1 \\ \hline \bullet & \bullet & \bullet \end{array}$$

$$h_{n-i} : \begin{array}{|c|c|c|} \hline 1 & 2 & 3 \\ \hline \end{array} \xrightarrow{\quad} n$$

$$y_n = \sum_{i=-\infty}^{\infty} f_i \cdot h_{n-i}$$

i		-2	-1	0	1	2	3	4	n	y_n
f_i				2	4	1				
h_{0-i}		1	2	3					0	$6 + 0 + 0 = 6 = y_0$
h_{1-i}			1	2	3				1	$4 + 12 + 0 = 16 = y_1$
h_{2-i}				1	2	3			2	$2 + 8 + 3 = 13 = y_2$
h_{3-i}					1	2	3		3	$0 + 4 + 2 = 6 = y_3$
h_{4-i}						1	2	3	4	$0 + 0 + 1 = 1 = y_4$
										$y_n = 0$ sonst

Diskrete Faltung: Papierstreifenmethode, Tabelle

- Wenn die Längen der Folgen f_n , h_n und y_n
 L_f , L_h und L_y sind, gilt:

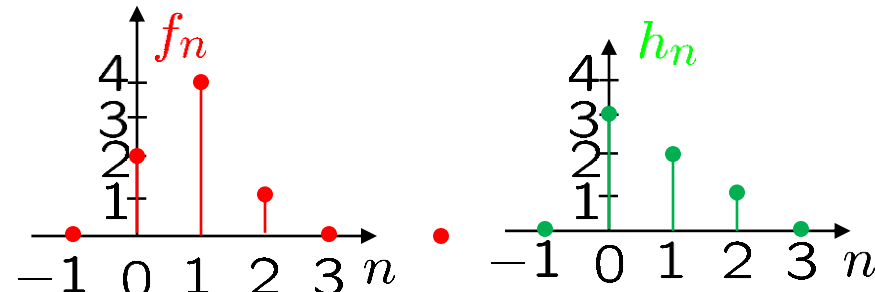
$$L_y = L_f + L_h - 1.$$

Diskrete Faltung: Berechnung mit Impulsfolge

- Beispiel: Folge f_n : $f_0 = 2, f_1 = 4, f_2 = 1, f_n = 0$ sonst
 h_n : $h_0 = 3, h_1 = 2, h_2 = 1, h_n = 0$ sonst

$$f_n = 2 \cdot \delta_n + 4 \cdot \delta_{n-1} + 1 \cdot \delta_{n-2}$$

$$h_n = 3 \cdot \delta_n + 2 \cdot \delta_{n-1} + 1 \cdot \delta_{n-2}$$

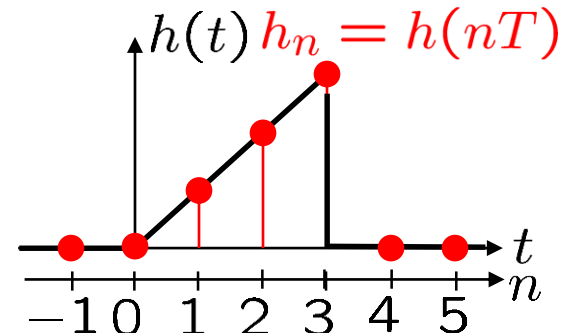
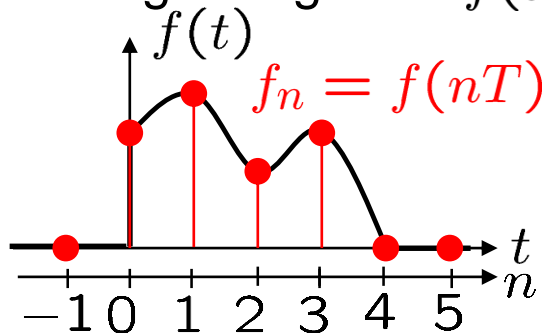


$$y_n = f_n * h_n = (2\delta_n + 4\delta_{n-1} + \delta_{n-2}) * (3\delta_n + 2\delta_{n-1} + \delta_{n-2})$$

$$\begin{aligned} &= 6\delta_n + 4\delta_{n-1} + 2\delta_{n-2} \\ &\quad + 12\delta_{n-1} + 8\delta_{n-2} + 4\delta_{n-3} \\ &\quad + 3\delta_{n-2} + 2\delta_{n-3} + \delta_{n-4} \\ &= 6\delta_n + 16\delta_{n-1} + 13\delta_{n-2} + 6\delta_{n-3} + \delta_{n-4} \end{aligned}$$

Zusammenfassung kontinuierliche und diskrete Faltung

- Die beiden Folgen f_n und h_n seien durch ideale Abtastung aus analogen Signalen $f(t)$ und $h(t)$ entstanden.



- Sind die Abtastwerte $y(t = nT)$ der kontinuierlichen Faltung $y(t) = f(t) * h(t)$ gleich den Folgenwerten der diskreten Faltung $y_n = f_n * h_n$?
- Im allgemeinen nicht, da bei der kontinuierlichen Faltung durch die Integration auch alle Funktionswerte $f(t)$ und $h(t)$ zwischen den Abtaststellen iT , $i \in \mathbb{Z}$ das Ergebnis $y(t = nT)$ beeinflussen.
- Bei der diskreten Faltung hingegen wird y_n nur durch die Abtastwerte $f_i = f(iT)$ und $h_i = h(iT)$, $i \in \mathbb{Z}$ bestimmt.

Eigenschaften der z-Transformation: Faltungsregel

- Eine zentrale Eigenschaft der z-Transformation ist die Überführung der Faltungsoperation im diskreten Zeitbereich in eine Multiplikation im z-Bereich.

$$f_n * h_n \quad \circ \longrightarrow \bullet \quad F(z) \cdot H(z), \quad \mathcal{K} \supseteq \mathcal{K}_f \cap \mathcal{K}_h$$

- Beweis:

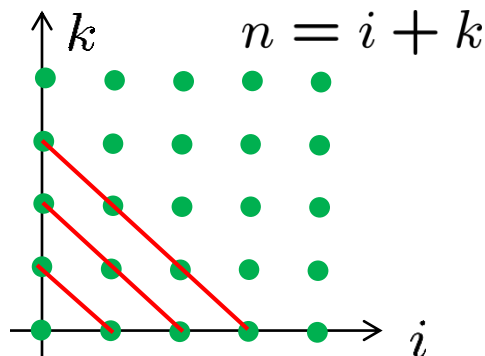
$$F(z) \cdot H(z) = \sum_{i=0}^{\infty} f_i z^{-i} \sum_{k=0}^{\infty} h_k z^{-k}$$

$$= \sum_{i=0}^{\infty} \sum_{k=0}^{\infty} f_i h_k z^{-(i+k)}$$

$$= \sum_{n=0}^{\infty} \underbrace{\left(\sum_{k=0}^{\infty} f_{n-k} h_k \right)}_{= f_n * h_n} z^{-n}$$

Faltungssumme bei kausalen Folgen
 f_n und h_n .

Neue Summation:



Linien konstanter Summe n

Beispiel: Bestimmung der Faltungssumme mit Hilfe der z-Transformation



$$f_n = 2\delta_n + 4\delta_{n-1} + \delta_{n-2} \quad \circ \text{---} \bullet \quad F(z) = 2 + 4z^{-1} + z^{-2}$$

$$h_n = 3\delta_n + 2\delta_{n-1} + \delta_{n-2} \quad \circ \text{---} \bullet \quad H(z) = 3 + 2z^{-1} + z^{-2}$$

$$Y(z) = F(z)H(z) = (2 + 4z^{-1} + z^{-2})(3 + 2z^{-1} + z^{-2})$$

$$\begin{aligned} &= 6 \quad +4z^{-1} \quad +2z^{-2} \\ &\quad +12z^{-1} \quad +8z^{-2} \quad +4z^{-3} \\ &\quad \quad +3z^{-2} \quad +2z^{-3} \quad +z^{-4} \end{aligned}$$

$$= 6 \quad +16z^{-1} \quad +13z^{-2} \quad +6z^{-3} \quad +z^{-4}$$

$$y(n) = 6\delta_n + 16\delta_{n-1} + 13\delta_{n-2} + 6\delta_{n-3} + \delta_{n-4}$$

Eigenschaften der z-Transformation: Anfangswertsatz

- Für den Anfangswert einer Folge gilt

$$f_0 = \lim_{z \rightarrow \infty} F(z)$$

- Damit kann man den Anfangswert einer Folge direkt aus ihrer z-Transformierten ohne Rücktransformation ablesen.
- Der Satz folgt unmittelbar aus der Definitionsgleichung:

$$\begin{aligned} \lim_{z \rightarrow \infty} F(z) &= \lim_{z \rightarrow \infty} \left(\sum_{n=0}^{\infty} f_n z^{-n} \right) \\ &= \lim_{z \rightarrow \infty} (f_0 + f_1 z^{-1} + f_2 z^{-2} + \dots) \\ &= f_0 \end{aligned}$$

Eigenschaft der z-Transformation: Endwertsatz

- Hat die z-Transformierte $F(z)$ höchstens einen einfachen Pol bei $z = 1$ und sonst nur Pole innerhalb des Einheitskreises, dann gilt:

$$\lim_{n \rightarrow \infty} f_n = \lim_{z \rightarrow 1} (z - 1) \cdot F(z)$$

- Anschauliche Begründung:
Sind die Voraussetzungen erfüllt, setzt sich die Folge f_n aus abklingenden Exponentialfolgen (Pole innerhalb des Einheitskreises) und evtl. einem konstantem Anteil (Pol bei $z = 1$) zusammen.
Für $n \rightarrow \infty$ verschwinden die Anteile der abklingenden Exponentialfunktionen, und nur der konstante Anteil mit Pol bei $z = 1$ bleibt übrig.

Rücktransformation: Komplexes Umkehrintegral

- Ein direkter funktionaler Zusammenhang zwischen der z-Transformierten und der zugehörigen Originalfolge (inverse z-Transformation) ist über das Umkehrintegral gegeben.

$$f_n = \mathcal{Z}^{-1}\{F(z)\} = \frac{1}{2\pi j} \oint_C F(z) z^{n-1} dz$$

- Als Integrationsweg C ist dabei eine mathematisch positiv orientierte, den Ursprung umfassende, geschlossene, doppelpunktfreie Kurve im Konvergenzgebiet der z-Transformierten zu wählen.
- Berechnung des Umkehrintegrals in der Regel mit Hilfe des Residuensatzes.

Rücktransformation: Partialbruchzerlegung

- Für rationale z-Transformierte stellt die Rücktransformation über die Partialbruchzerlegung das wichtigste und einfachste Verfahren dar.
- Idee: Komplizierte Funktion in einfache elementare Terme zerlegen, die jeweils getrennt einfach (z.B. mittels Korrespondenztabelle) behandelt werden können.

Rücktransformation: Partialbruchzerlegung

- **Ausgangspunkt:** rationale Funktion, Zählergrad \leq Nennergrad.

$$F(z) = \frac{\sum_{i=0}^N b_i z^i}{\sum_{j=0}^N a_j z^j} = \frac{b_0 + b_1 z^1 + \dots + b_N z^N}{a_0 + a_1 z^1 + \dots + a_N z^N}, \quad a_N \neq 0.$$

Falls Zählergrad $>$ Nennergrad, muss vorher das Polynom in z (antikausaler Signalanteil) mittels Polynomdivision abgespalten und getrennt behandelt werden.

- **Schritt 1:** Bilden der Hilfsfunktion $\tilde{F}(z) = F(z)/z$.

Dadurch ist sichergestellt, dass Zählergrad $<$ Nennergrad, d.h. $\tilde{F}(z)$ *echt* gebrochen rational, und damit Ansatz der Partialbruchzerlegung für $\tilde{F}(z)$ möglich ist.

Rücktransformation: Partialbruchzerlegung

- **Schritt 2:** Bestimmen der Pole α_i und deren Vielfachheiten k_i von $\tilde{F}(z)$ über die Nullstellen des Nennerpolynoms.
- **Schritt 3:** Ansatz der Partialbruchzerlegung in der Form:

$$\tilde{F}(z) = \frac{F(z)}{z} = \underbrace{\sum_i \frac{r_i}{z - \alpha_i}}_{\text{einfache Pole}} + \underbrace{\sum_i \sum_{l=1}^{m_i} \frac{\tilde{r}_{i,l}}{(z - \tilde{\alpha}_i)^l}}_{\text{mehrfache Pole}},$$

$\alpha_i, \tilde{\alpha}_i, r_i, \tilde{r}_{i,l} \in \mathbb{C}$

bzw. für (einfache) konjugiert komplexe Polpaare eventuell zusätzliche Terme der Form

$$\sum_i \frac{e_i(z - d_i)}{z^2 - b_i z + c_i}, \quad b_i, c_i, d_i, e_i \in \mathbb{R}.$$

Rücktransformation: Partialbruchzerlegung

- **Schritt 4:** Bestimmen der Koeffizienten r_i , $\tilde{r}_{i,l}$, bzw. d_i , e_i
 - über Koeffizientenvergleich der auf den Hauptnenner gebrachten Partialbruchsumme oder
 - über die Residuenformel für

- einfache Pole:

$$r_i = (z - \alpha_i) \tilde{F}(z) \Big|_{z=\alpha_i}$$

- mehrfache Pole:

$$\tilde{r}_{i,l} = \frac{1}{(m-l)!} \frac{d^{m-l}}{dz^{m-l}} \left[(z - \tilde{\alpha}_i)^m \cdot \tilde{F}(z) \right] \Big|_{z=\tilde{\alpha}_i}$$

- **Schritt 5:** Multiplikation der Gleichung mit z führt auf die Form

$$F(z) = \sum_i r_i \frac{z}{z - \alpha_i} + \sum_i \sum_{l=1}^m \tilde{r}_{i,l} \frac{z}{(z - \tilde{\alpha}_i)^l},$$

welche mit der Korrespondenztabelle rücktransformiert werden kann.

Rücktransformation: Partialbruchzerlegung

Korrespondenzen:

- Einfache Pole:

$$\frac{z}{z - \alpha} \quad \bullet \text{---} \circ \quad \alpha^n u_n$$

Exponentialfolge, Basis = Polstelle

- Mehrfache Pole:

$$\frac{z}{(z - \alpha)^{m+1}} \quad \bullet \text{---} \circ \quad \binom{n}{m} \alpha^{n-m} u_n$$

$$= \frac{n(n-1)(n-2) \cdots (n-(m-1))}{m!} \alpha^{n-m} u_n$$

ausmultipliziert: Polynom m -ten Grades in n
gewichtete Exponentialfolge, Gewichtungsfunktion:
Grad m in n

Rücktransformation: Partialbruchzerlegung

- Konjugiert komplexe Polpaare:

$$\frac{z \cdot r}{z - \alpha} + \frac{z \cdot r^*}{z - \alpha^*} \quad \bullet \text{---} \circ \quad 2|r||\alpha|^n \cos(\arg(\alpha) \cdot n + \arg(r)) u_n$$

reelle Schwingung

- Bei rationalen Funktionen mit *reellen* Koeffizienten treten nur *reelle Pole* oder *konjugiert komplexe Polpaare* auf.

Rücktransformation: Partialbruchzerlegung

Alternativer Ansatz, wenn Zählergrad < Nennergrad:

- Direkte Partialbruchzerlegung von $F(z)$:

$$F(z) = \sum_i \frac{r'_i}{z - \alpha'_i} + \sum_i \sum_{l=1}^m \frac{\tilde{r}'_{i,l}}{(z - \tilde{\alpha}'_i)^l}$$

- In diesem Fall fehlt jeweils der Term z im Zähler der Entwicklungsglieder, um die elementaren Korrespondenzen anzuwenden.
- Erweitern mit z/z :

$$F(z) = \sum_i \underbrace{z^{-1}}_{\text{Zeitverschiebung}} \underbrace{\frac{r'_i z}{z - \alpha'_i}}_{\text{Korrespondenztabelle}} + \sum_i \sum_{l=1}^m \underbrace{z^{-1}}_{\text{Zeitverschiebung}} \underbrace{\frac{\tilde{r}'_{i,l} z}{(z - \tilde{\alpha}'_i)^l}}_{\text{Korrespondenztabelle}}$$

Zeitverschiebung Korrespondenztabelle

Elementare Korrespondenzen sind in einer zeitverschobenen Version anzuwenden.

Rücktransformation: Polynomdivision

- Man dividiert das Zählerpolynom durch das Nennerpolynom.
- Wenn Zählergrad \leq Nennergrad, ergibt dies eine Form

$$f_0 + f_1 z^{-1} + f_2 z^{-2} + \dots$$

- Die Faktoren f_n sind genau die gesuchte kausale Zahlenfolge.

Rücktransformation: Polynomdivision

- Beispiel: $F(z) = \frac{z}{z-2}, \quad |z| > 2$

$$\begin{array}{r}
 z \\
 -(z-2) \\
 \hline
 2 \\
 -(2-4z^{-1}) \\
 \hline
 4z^{-1} \\
 -(4z^{-1}-8z^{-2}) \\
 \hline
 8z^{-2}
 \end{array}
 \quad : (z-2) = 1 + 2z^{-1} + 4z^{-2} + \dots$$

$\begin{array}{ccc} \parallel & \parallel & \parallel \\ f_0 & f_1 & f_2 \end{array}$
 ↙ ↘
 Gesuchte Zahlenfolge
 ↓
 $= \sum_{n=0}^{\infty} 2^n z^{-n}$
 \bullet
 \circ
 $f_n = 2^n u_n$

- Nur sinnvoll, wenn sich der generelle Ausdruck für f_n aus den ersten wenigen Werten f_0, f_1, f_2, \dots ableiten lässt oder wenn nur wenige erste Werte, z.B. f_0, f_1, f_2, f_3 gesucht sind.